

№ 1
2019

+0

[51]

Известия

научно-технический журнал
ИНСТИТУТА ИНЖЕНЕРНОЙ ФИЗИКИ



8 февраля
День российской науки



Межрегиональное общественное учреждение
“Институт инженерной физики”
(научное, образовательное и производственное учреждение)

В НОМЕРЕ

**ПРИБОРОСТРОЕНИЕ,
МЕТРОЛОГИЯ И
ИНФОРМАЦИОННО-
ИЗМЕРИТЕЛЬНЫЕ ПРИБОРЫ И
СИСТЕМЫ**

2 Бутранов А.С., Ерёмин Б.Г.,
Мартынов С.В., Никитенко В.В.

Регрессионная зависимость поддержания
комфортного физиологического состояния
военнослужащего, одетого во всесезонный
комплект полевого обмундирования с
активной системой электрообогрева в
условиях низких температур

7 Мартынов С.В., Ерёмин Б.Г.,
Назаров А.В., Бутранов А.С.

Экспериментальная оценка теплозащитных
функций средств индивидуальной защиты
военнослужащего от холода с применением
теплового манекена

13 Смирнов В.А., Шуваева О.В.

Прибор для измерения мощности
ультрафиолетового излучения

16 Турбал Р.А., Глазов Д.Н.

Использование производных от пеленга
на излучатель электромагнитных волн для
определения временной задержки между
земной и ионосферными волнами

РАДИОТЕХНИКА И СВЯЗЬ

18 Зеленевский В.В., Зеленевский Ю.В.,
Зеленевский А.В., Шмырин Е.В.,
Ржаных А.В.

Оценка качества передачи данных в
декаметровых радиоканалах с ионосферной
волной

22 Шиманов С.Н., Франков С.В.,
Дёмочкин Е.А., Рыженков В.А.

Вероятностная маршрутизация в Mesh-сетях
с быстроменяющейся топологией

27 Шиманов С.Н., Прасолов В.А.,
Бобрус С.Ю., Егоров В.В., Рыженков В.А.

Модификация протокола доведения
сообщений HDL в части приема квитанций по
обратному каналу

32 Зеленевский В.В., Зеленевский Ю.В.,
Зеленевский А.В., Дурнов А.С.,
Наконечный Б.М.

Математическая модель радиоканала
передачи данных ОЧЧ-НЧ диапазона

**ИНФОРМАТИКА,
ВЫЧИСЛИТЕЛЬНАЯ ТЕХНИКА
И УПРАВЛЕНИЕ**

39 Емелин Н.М.

Марковские и полумарковские модели
сложных систем: преимущества и
недостатки

42 Евсиков А.А., Леонов А.П.

Об использовании системы моделирования
VisSim для исследования электропривода,
работающего при скалярном управлении
в повторно-кратковременном
номинальном режиме с частыми пусками и
электрическим торможением

49 Боровиков А.Ю., Новиков К.Б.,
Маслов О.А.

Описание подхода программной
реализации модуля доверенной загрузки
операционной системы

55 Коломбет В.А., Лесных В.Н.,
Елистратов А.В.

О возможной природе осцилляций,
приводящих к универсальной системе
утраивающихся периодов

58 Смуров С.В., Масликов А.А., Волков Г.Г.

Идеи и методы генерации запутывания
твердотельных спин-кубитов. Квантовая
запутанность двух систем

65 Бугаков И.А., Сорокин А.Д.,
Хомяков А.В.

Показатели эффективности применения
группы беспилотных летательных аппаратов
при решении задачи воздушной разведки в
условиях противодействия противника

69 Бугаков А.И., Бугаков И.А.,
Лысенко А.В., Шаров Ю.К.

О комплексировании видеонаблюдения
с датчиками физических величин в
системах автоматического распознавания
нарушителя на охраняемой территории
критически важных объектов

74 Смирнов Д.В., Коротин А.М.,
Воронов Я.Р.

Определение в рамках методики
построения систем контроля целостности
ответственной информации в системах АЛС
на базе широковещательного радиоканала
механизмов защиты от угроз безопасности

86 Андрух О.Н., Дранников С.Г.

Анализ современных подходов к мониторингу
удовлетворенности потребителей качеством
образовательной деятельности вуза

**СОВРЕМЕННАЯ МЕДИЦИНА И
ФАРМАЦЕВТИКА**

92 Грачёв В.А., Краснова Ю.В.,
Панов П.Б., Умников Е.В., Казакова Е.Ю.

Направления модернизации комплектов
медицинского имущества для кораблей и
судов Военно-морского флота Российской
Федерации

**ПРОФЕССИОНАЛЬНОЕ
ОБРАЗОВАНИЕ**

95 Баранчук Н.А., Обыночный И.А.,
Шугалей Д.В.

Педагогические управляемые компетенции
как составляющая профессиональной
компетентности преподавателя военного вуза

**ТЕХНИЧЕСКОЕ
РЕГУЛИРОВАНИЕ**

99 Смурова А.С.

Анализ причин и предпосылок существования
проблем при распределении прав на
результаты интеллектуальной деятельности
между государственным заказчиком и
исполнителем в договорах на НИОКР

**НАУЧНЫЕ ОБЗОРЫ. НАУЧНЫЕ
РЕЦЕНЗИИ. ОТЗЫВЫ**

102 Емелин Н.М.

Качественный прорыв в формировании
Перечня рецензируемых изданий

104 СОБЫТИЯ

105 AUTHORS

107 ЭТИКА НАУЧНЫХ ПУБЛИКАЦИЙ

**108 ТРЕБОВАНИЯ К АВТОРАМ
СТАТЕЙ**

Научно-технический журнал

**ИЗВЕСТИЯ
Института инженерной физики**
№1 (51) 2019

Издается с апреля 2006 г. Выходит ежеквартально

ISSN 2073-8110

Включен в «Перечень ВАК»

по научным специальностям:

05.11.16. Информационно-измерительные
и управляющие системы
05.12.13. Системы, сети и устройства телекоммуникаций
05.13.01. Системный анализ, управление
и обработка информации
05.13.19. Методы и системы защиты информации,
информационная безопасность

**Главный редактор,
председатель редакционного совета
и редакционной коллегии**

Алексей Николаевич Царьков

Президент – Председатель Правления МОУ «ИИФ»,
заслуженный деятель науки РФ, профессор
доктор технических наук, профессор

Редакционный совет

Геннадий Иванович Азаров

главный научный сотрудник ФГУП «16 ЦНИИ МО РФ»
заслуженный деятель науки РФ, заслуженный
изобретатель РФ, лауреат Государственной
премии РФ, лауреат премии Правительства РФ,
доктор технических наук, профессор

Сергей Владимирович Дворянкин
начальник департамента Государственной
корпорации «РОСТЕХ» ОАО КРЭТ,
доктор технических наук, профессор

Николай Михайлович Емелин

главный научный сотрудник
ФГБНУ «Госметодцентра»,
заслуженный деятель науки и техники РСФСР,
доктор технических наук, профессор

Валерий Иванович Николаев

научный референт ОАО «Концерн «Созвездие»,
лауреат Государственной премии СССР,
лауреат премии Правительства РФ,
доктор технических наук, профессор

Владимир Георгиевич Редько

заместитель руководителя
Центра оптико-нейронных технологий
НИИ системных исследований РАН,
доктор физико-математических наук

Юрий Александрович Романенко

старший научный сотрудник
филиала ВА РВСН им. Петра Великого (г. Серпухов)
заслуженный деятель науки РФ,
доктор технических наук, профессор

Александр Викторович Синьговский

старший научный сотрудник
Европейского центра ядерных исследований (CERN),
Adjunct Assistant Professor

Университета Миннесоты (США),
кандидат физико-математических наук

Анатолий Васильевич Тодосийчук

главный советник аппарата Комитета ГД ФС РФ
по образованию и науке,
почетный работник науки и техники РФ,
доктор экономических наук, профессор

Александр Павлович Царёв

заведующий кафедрой компьютерных архитектур
и телекоммуникаций Западно-поморского
технологического университета (Польша),
доктор технических наук, профессор

Игорь Анатольевич Шеремет

заместитель директора Российского фонда
фундаментальных исследований по науке,
член-корреспондент РАН,
доктор технических наук, профессор

ИНФОРМАТИКА, ВЫЧИСЛИТЕЛЬНАЯ ТЕХНИКА И УПРАВЛЕНИЕ

УДК 621.31

ОБ ИСПОЛЬЗОВАНИИ СИСТЕМЫ МОДЕЛИРОВАНИЯ *VisSim* ДЛЯ ИССЛЕДОВАНИЯ ЭЛЕКТРОПРИВОДА, РАБОТАЮЩЕГО ПРИ СКАЛЯРНОМ УПРАВЛЕНИИ В ПОВТОРНО- КРАТКОВРЕМЕННОМ НОМИНАЛЬНОМ РЕЖИМЕ С ЧАСТЫМИ ПУСКАМИ И ЭЛЕКТРИЧЕСКИМ ТОРМОЖЕНИЕМ

ABOUT USING THE SIMULATION SYSTEM *VisSim* FOR THE INVESTIGATION OF THE ELECTRIC DRIVE, WORKING UNDER SCALAR CONTROL IN REPEATLY-SHORT-TERM NOMINAL MODE WITH FREQUENT STARTS AND ELECTRIC BRAKING

Александр Александрович Евсиков
кандидат технических наук
директор филиала «Протвино»
Государственного университета «Дубна»
Адрес: 142281, Московская обл.,
г. Протвино, Северный проезд, д. 9
Тел. +7(496)31-01-91
E-mail: eaa@uni-protvino.ru

Анатолий Петрович Леонов
кандидат технических наук,
старший научный сотрудник
заместитель директора по учебной и
научной работе филиала «Протвино»
Государственного университета «Дубна»
Адрес: 142281, Московская обл.,
г. Протвино, Северный проезд, д. 9
Тел. +7(496)31-01-92
E-mail: anatoli.leonov@gmail.com

Аннотация

С использованием системы моделирования *VisSim* для электропривода, работающего при скалярном управлении в режиме S5, разработаны: интерактивный алгоритм выбора трехфазного асинхронного двигателя с короткозамкнутым ротором с программой расчета допустимого числа его включений; механодинамическая модель двигателя для определения его механических характеристик.

Ключевые слова: повторно-кратковременный номинальный режим с частыми пусками и электрическим торможением, скалярное управление, трехфазный асинхронный двигатель с короткозамкнутым ротором.

Summary

With the use of the *VisSim* modeling system, there are designed for an electric drive operating with scalar control in the S5 mode: interactive algorithm for selecting a three-phase a squirrel-cage asynchronous motor with a program for calculating the permissible number of its inclusions; mechanodynamic model of the motor for determining its mechanical characteristics.

Keywords: repeatedly-short-term nominal mode with frequent starts and electric braking, scalar control, three-phase a squirrel-cage asynchronous motor.

Введение

Повторно-кратковременный номинальный режим работы с частыми пусками и электрическим торможением (режим S5) широко используется в приводах металлорежущих станков, прокатных станов, вспомогательных механизмов и другого оборудования, когда по условиям технологического процесса возникает необходимость в большой частоте включений двигателей (до 600 и более включений в час) [10].

Режим S5 представляет собой последовательность одинаковых рабочих циклов электродвигателя продолжительностью t_u (рисунок 1).

Исследование привода выполним для наиболее распространенного случая с постоянным моментом сопротивления нагрузки $M_e \approx const$. Каждый из рабочих циклов состоит из следующих периодов [1, 8]:

1. Пуск (при продолжительности t_n и моменте двигателя $M_n = M_{\text{п}} = M_n$, где пусковой момент $M_n = M_e + J \cdot dw_n/dt$; M_e , J , w_n – приведенные к валу двигателя соответственно моменты сопротивления и инерции электромеханической части привода, угловая скорость нагрузки).

2. Работа в установившемся режиме с постоянной нагрузкой (при продолжительности $t_{\text{ъем}}$,

ИНФОРМАТИКА, ВЫЧИСЛИТЕЛЬНАЯ ТЕХНИКА И УПРАВЛЕНИЕ

$\omega_n = \omega_{yem}$ и $M_{de} = M_{yem} = M_c$).

3. Электрическое торможение (при продолжительности t_m и моменте двигателя $M_m = M_c - J \cdot d\omega_n / dt$).

4. Пауза продолжительностью t_y , за время которой скорость ω_n уменьшается до нуля, а температура двигателя θ_{de} уменьшается до величины $\theta_{min} > \theta_{oc}$, где θ_{oc} – температура окружающей среды.

Продолжительность включения двигателя

$$PV = [(t_n + t_{yem} + t_m) / t_y] \cdot 100\%.$$

В соответствии с ГОСТ183 нормированные значения $PV = 15; 25; 40; 60\%$.

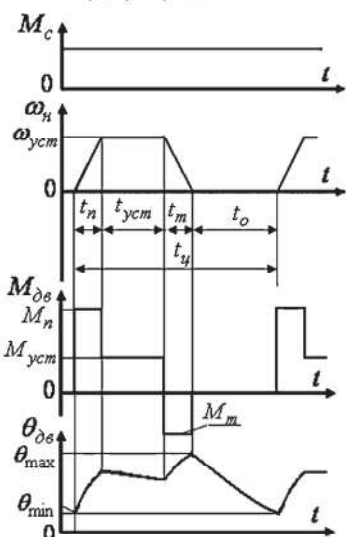


Рис. 1. Временные диаграммы работы электропривода в режиме S5

Продолжительность цикла t_y недостаточна для достижения теплового равновесия. Среднее превышение температуры двигателя $\tau_{cp} = \theta_{max} - \theta_{oc}$ достигается при большом числе рабочих циклов.

Под допустимой частотой h_{don} будем понимать такое число включений в час, при котором двигатель полностью используется по нагреву, то есть среднее превышение температуры двигателя $\tau_{cp} = \tau_{don}$, где τ_{don} – допустимый (нормативный) перегрев двигателя, определяемый классом его изоляции [9].

В современном автоматизированном производстве широко используются электроприводы на базе трехфазных асинхронных двигателей (АД) с короткозамкнутым (кз) ротором при их скалярном управлении от преобразователей частоты (ПЧ) со звеном постоянного тока [2, 4, 9].

Целью работы является разработка в системе математического моделирования VisSim [3, 7]:

1. Интерактивного алгоритма выбора трехфазного АД с кз ротором для режима S5 с программой расчета h_{don} .

2. Механодинамической модели АД при скалярном управлении.

1. Разработка интерактивного алгоритма выбора типа трехфазного АД с кз ротором для режима S5

Для использования в режиме S5 рекомендуются специальные двигатели переменного тока, предназначенные для работы в повторно-кратковременном режиме S3 [6, 8]. Особенности этих двигателей: пониженная величина момента инерции ротора; большой пусковой момент при сравнительно небольших пусковых токах; повышенная перегрузочная способность.

При отсутствии значительных нагрузок возможно применение в режиме S5 АД общепромышленного назначения для продолжительного режима работы S1. Однако использование таких двигателей в режиме S5 приводит к снижению надежности электропривода и его энергетических показателей. Это объясняется тем, что по сравнению со специальными двигателями АД для продолжительного режима имеют меньшие значения перегрузочной способности и пускового момента, больший момент инерции ротора, меньший диаметр вала и меньший ресурс подшипников [6, 8].

В режиме S5 существенное влияние на перегрев двигателя оказывают переходные режимы, связанные с его частыми пусками и электрическим торможением, в переходных режимах значения токов в обмотках трехфазных АД с кз ротором превышают номинальные в 5–7 раз [6].

1.1. Выбор АД с использованием системы моделирования VisSim

Выбор АД для режима S5 затрудняется тем, что точная нагрузочная диаграмма для этого режима (рисунок 1) предварительно не может быть рассчитана, так как потери в переходных режимах могут быть точно определены только с учетом момента инерции ротора двигателя. Поэтому сначала выполняется предварительный выбор АД, а затем по уточненной нагрузочной диаграмме – окончательный выбор.

Интерактивный алгоритм выбора типа АД в системе моделирования VisSim представлен на рисунке 2.

На этапе предварительного выбора АД в блок исходных данных пользователь заносит заданные в нагрузочной диаграмме параметры электропривода: $M_c, J, \omega_n, \omega_{yem}, t_n, t_{yem}, t_m, t_y$.

Затем пользователь запускает программу расчета требуемой мощности двигателя P_{mp} , значение которой вычисляется без учета момента инерции ротора АД в следующем порядке [8]:

1. Расчет пускового момента M_n на участке разгона (рисунок 1)

$$M_n = J \cdot \omega_{yem} / t_n + M_c \quad (1)$$

ИНФОРМАТИКА, ВЫЧИСЛИТЕЛЬНАЯ ТЕХНИКА И УПРАВЛЕНИЕ

2. Расчет тормозного момента M_m на участке торможения (рис.1)

$$M_m = M_c \cdot J \cdot \omega_{yem} / t_m \quad (2)$$

3. Определение эквивалентного момента нагрузки M_{ekv}

$$M_{ekv} = \sqrt{\frac{M_n^2 t_n + M_c^2 t_{yem} + M_m^2 t_m}{t_n + t_{yem} + t_m}} \quad (3)$$

4. Расчет эквивалентной мощности двигателя

$$P_{ekv} = M_{ekv} \cdot \omega_{yem} \text{ или } P_{ekv} = 0.105 M_{ekv} \cdot n_{yem} \quad (4)$$

5. Определение относительной продолжительности рабочего периода

$$PB_p = [(t_n + t_{yem} + t_m) / t_w] \cdot 100\% \quad (5)$$

6. Вычисление требуемой мощности P_{mp} с учетом коэффициента запаса $k_3 = 1.1 \div 1.3$ при $PB_p = 40\%$

$$P_{mp} = k_3 \cdot P_{ekv} \cdot \sqrt{PB_p / 40} \quad (6)$$

Если допустимо применение в режиме S5 двигателей общепромышленного назначения для продолжительного режима работы S1, то ориентировочное значение требуемой мощности двигателя P_{mp} выбирается из условия

$$P_{mp} = k_3 \cdot P_{ekv} \cdot \sqrt{PB_p / 40}$$

Значение P_{mp} выводится на экран монитора и пользователь выбирает трехфазный АД с кротором, имеющий номинальную мощность $P_{nom} \geq P_{mp}$ и номинальную частоту вращения $n_{nom} \geq n_{yem}$.

Параметры выбранного двигателя заносятся пользователем в блок исходных данных программы его окончательного выбора.

По команде пользователя с учетом величины момента инерции ротора J_{ob} определяются [8]:

- среднее значение момента двигателя при пуске

$$M_{n,ep} = (J + J_{ob}) \cdot \omega_{yem} / t_n + M_c \quad (7)$$

- среднее значение момента двигателя при торможении

$$M_{m,ep} = M_c - (J + J_{ob}) \cdot \omega_{yem} / t_m \quad (8)$$

- уточненные значения эквивалентного момента

$$M_{ekv,yem} = \sqrt{\frac{M_{n,ep}^2 t_n + M_c^2 t_{yem} + M_{m,ep}^2 t_m}{t_n + t_{yem} + t_m}} \quad (9)$$

и эквивалентной мощности

$$P_{ekv,yem} = M_{ekv,yem} \cdot \omega_{yem} \text{ или } P_{ekv,yem} = 0.105 M_{ekv,yem} \cdot n_{yem} \quad (10)$$

Уточненное значение требуемой мощности двигателя

$$P_{mp,yem} = P_{ekv,yem} \cdot \sqrt{PB_p / 40} \quad (11)$$

Для предварительно выбранного АД проверяется выполнение условия

$$P_{nom} \geq P_{mp,yem} \quad (12)$$

Если условие (12) не соблюдается, то выводится соответствующее сообщение и пользователю предлагается: выбрать более мощный двигатель; занести его параметры в блок исходных данных программы окончательного выбора двигателя; дать команду на выполнение этой программы.

Если условие (12) выполняется, то осуществляются проверки правильности выбора АД:

1. По условиям пуска

$$0.8 M_{n,ad} \geq M_c \quad (13)$$

где $M_{n,ad}$ – справочное значение пускового момента двигателя

2. На перегрузочную способность при работе на максимальную нагрузку

$$0.8 M_{kr} \geq M_{n,ep} \quad (14)$$

Проверка осуществляется для наихудшего случая, когда напряжение питания обмотки статора имеет наименьшую разрешенную величину, равную 0.9 от номинальной ($0.9 U_{nom}$). Учитывая, что момент АД пропорционален квадрату питающего напряжения [5], в выражения (13) и (14) вводится множитель 0.8. Если хотя бы одно из условий (13) или (14) не выполняется, то выводится сообщение и предлагается осуществить выбор нового двигателя. Если условия (13) и (14) выполнены, то производится расчет h_{don} .

1.2. Определение допустимого числа включений двигателя при частотном управлении

При установленной температуре двигателя рассеиваемая в окружающую среду энергия равна выделяемым в двигателе потерям энергии за цикл. Потери энергии за цикл включают в себя потери энергии в переходных режимах пуска t_n , торможения t_m и в установленном режиме t_{yem} .

По критерию значений потерь мощности и энергии частотный способ регулирования скорости АД относится к экономичному, характеризующемуся малыми потерями [5].

Для выбранного АД допустимое число включений в час [10]

$$h_{don} \approx 3600 \cdot \frac{(\Delta P_{nom} - \Delta P) \cdot \varepsilon + \beta \Delta P_{nom} (1 - \varepsilon)}{\Delta W_n + \Delta W_m} \quad (15)$$

Величину h_{don} определяют следующие параметры:

1. Номинальные потери мощности

$$\Delta P_{nom} [Bm] = \frac{P_{nom} (1 - \eta_{nom})}{\eta_{nom}} \quad (16)$$

где η_{nom} – номинальный кпд АД.

2. Потери мощности ΔP в двигателе в установленном режиме. Они подразделяются на постоянные K и переменные V потери

$$\Delta P [Bm] = K + V \quad (17)$$

Под постоянными потерями K подразумеваются потери в стали магнитопровода, механические потери от трения в подшипниках и вентиляционные потери. Поскольку они изменяются незначительно, то принимаем их неизменными и равными разности между номинальными постоянными и переменными потерями [9].

ИНФОРМАТИКА, ВЫЧИСЛИТЕЛЬНАЯ ТЕХНИКА И УПРАВЛЕНИЕ

$$K[Bm] = \Delta P_{nom} - V_{nom} = \Delta P_{nom} - M_{nom} \omega_0 s_{nom} \left(\frac{R_1}{R_2} + 1 \right) \quad (18)$$

где M_{nom} – номинальный момент двигателя; $\omega_0 = 2\pi f/p$ – угловая скорость холостого хода (f – частота напряжения питания, p – число пар полюсов АД);

s_{nom} – номинальное скольжение; активное фазное сопротивление обмотки статора.

$$R_1 [Om] = [(3U_{1\phi}^2 / 2\omega_0 M_{kr})^2 - X_{k.z.}^2] / (3U_{1\phi}^2 / \omega_0 M_{kr}) \quad (19)$$

$$X_{k.z.} = U_{1\phi} / I_{1nom} \cos \varphi_{nom} (\lambda_m + \sqrt{\lambda_m^2 - 1}) \quad (20)$$

где $U_{1\phi} = 220 \text{ В}$;

I_{1nom} – номинальный ток в обмотке статора;

φ_{nom} – номинальный угол сдвига по фазе между током и напряжением в обмотке статора;

$\lambda_m = M_{kr}/M_{nom}$ – кратность максимального момента.

Приведенное к обмотке статора фазное сопротивление обмотки ротора

$$R_2 = M_{nom} \omega_0 s_{nom} / 3I_{1nom}^2 \cos^2 \varphi_{nom} \quad (21)$$

Полные переменные потери в установившемся режиме [10]

$$V = M_c \omega_0 s \cdot \left(\frac{R_1}{R_2} + 1 \right) \quad (22)$$

Поскольку при частотном управлении величина скольжения s постоянна и не зависит от скорости ω_0 скалярное управление энергетически эффективно, в том числе, при регулировании на малых оборотах.

3. Относительная продолжительность включения

$$\varepsilon = \frac{(t_n + t_{yct} + t_m)}{(t_n + t_{yct} + t_m + t_o)} \quad (23)$$

4. β – коэффициент, учитывающий ухудшение условий охлаждения двигателей с самовентиляцией при уменьшении частоты вращения [8].

5. Полные потери энергии в переходных режимах.

На практике при частотном управлении реализуется плавное изменение частоты и амплитуды управляющего напряжения с помощью ПЧ, что существенно сокращает потери энергии в переходных процессах. В общем случае расчет потерь энергии в системе «ПЧ–АД» требует решения сложных нелинейных дифференциальных уравнений. При разработке программы расчета h_{don} остановимся на часто встречающемся на практике случае, когда выполняются два условия [5]:

- линейное изменение скорости холостого хода

$$\omega_0 = \omega_{0max} \pm \varepsilon t,$$

где ε – темп изменения ω_0 (при пуске $\varepsilon = \omega_{yct}/t_n$, при торможении $\varepsilon = \omega_{yct}/t_m$);

- $t_n >> T_m$ и $t_m >> T_m$, где электромеханическая постоянная времени $T_m = J\omega_0/M_n$.

Тогда полные потери энергии ΔW_n при пуске

$$\Delta W_n = \Delta W_K + \Delta W_V = K \cdot t_n + \left[\frac{J\omega_0^2}{2} \cdot \left(1 + \frac{R_1}{R_2} \right) \cdot (1 - s^2) \cdot \frac{M_{ncp}}{M_{ncp} - M_c} \right] \cdot 2 \frac{T_m}{t_n} \quad (24)$$

где скорость ω_0 определяется при частоте управляющего напряжения, обеспечивающего скорость $\omega_u = \omega_{yct}$.

Полные потери энергии ΔW_m при торможении

$$\Delta W_m = K \cdot t_m + \left[\frac{J\omega_0^2}{2} \cdot \left(1 + \frac{R_1}{R_2} \right) \cdot (1 - s^2) \cdot \frac{M_{mcp}}{M_{mcp} + M_c} \right] \cdot 2 \frac{T_m}{t_m} \quad (25)$$

2. Разработка механодинамической модели трехфазного АД с кз ротором при скалярном управлении

Исходные требования к разрабатываемой модели:

1. Структура модели должна быть достаточно простой, чтобы при ее использовании не возникали трудности в восприятии смысла моделируемого процесса.

2. Используемые при моделировании параметры двигателя должны быть доступны для пользователя, в том числе, в отечественных справочниках.

Механодинамическая модель трехфазного АД с кз ротором состоит из трех субмодулей (рисунок 3). В субмодуль 1 заносятся исходные параметры АД и механической части привода. Расчет промежуточных параметров, необходимых для построения механической характеристики двигателя

$$n[\text{об/мин}] = f(M_{\text{об}}/[Hm]),$$

выполняется в субмодуле 2. Значения врачающего момента $M_{\text{об}}$ и частоты вращения n вала АД рассчитываются в субмодуле 3. Для расчета $M_{\text{об}}$ используем модифицированную под скалярное управление формулу Клосса [11].

$$M_{\text{об}} = 2M_{kr} \cdot (U/U_{nom})^2 \cdot (f/f_{nom}) / [(s/s_{kr})^2 + (s_{kr}/s)^2] \quad (26)$$

где U , U_{nom} – соответственно текущее и номинальное значения напряжения на обмотке статора при регулировании угловой скорости АД; f , f_{nom} – соответственно текущее и номинальное значения частоты напряжения на обмотке статора;

s – скольжение, соответствующее текущему значению $M_{\text{об}}$;

s_{kr} – скольжение, соответствующее критическому моменту M_{kr} .

По рассчитанному значению $M_{\text{об}}$, заданной величине M_c и знаку скорости вращения вычисляются величина врачающего момента M_{vr} , ускорение ε ротора двигателя и частота вращения n (рисунок 3).

С использованием данной модели получены механические характеристики АД типа АИР90L4 (рисунок 4).

ИНФОРМАТИКА, ВЫЧИСЛИТЕЛЬНАЯ ТЕХНИКА И УПРАВЛЕНИЕ

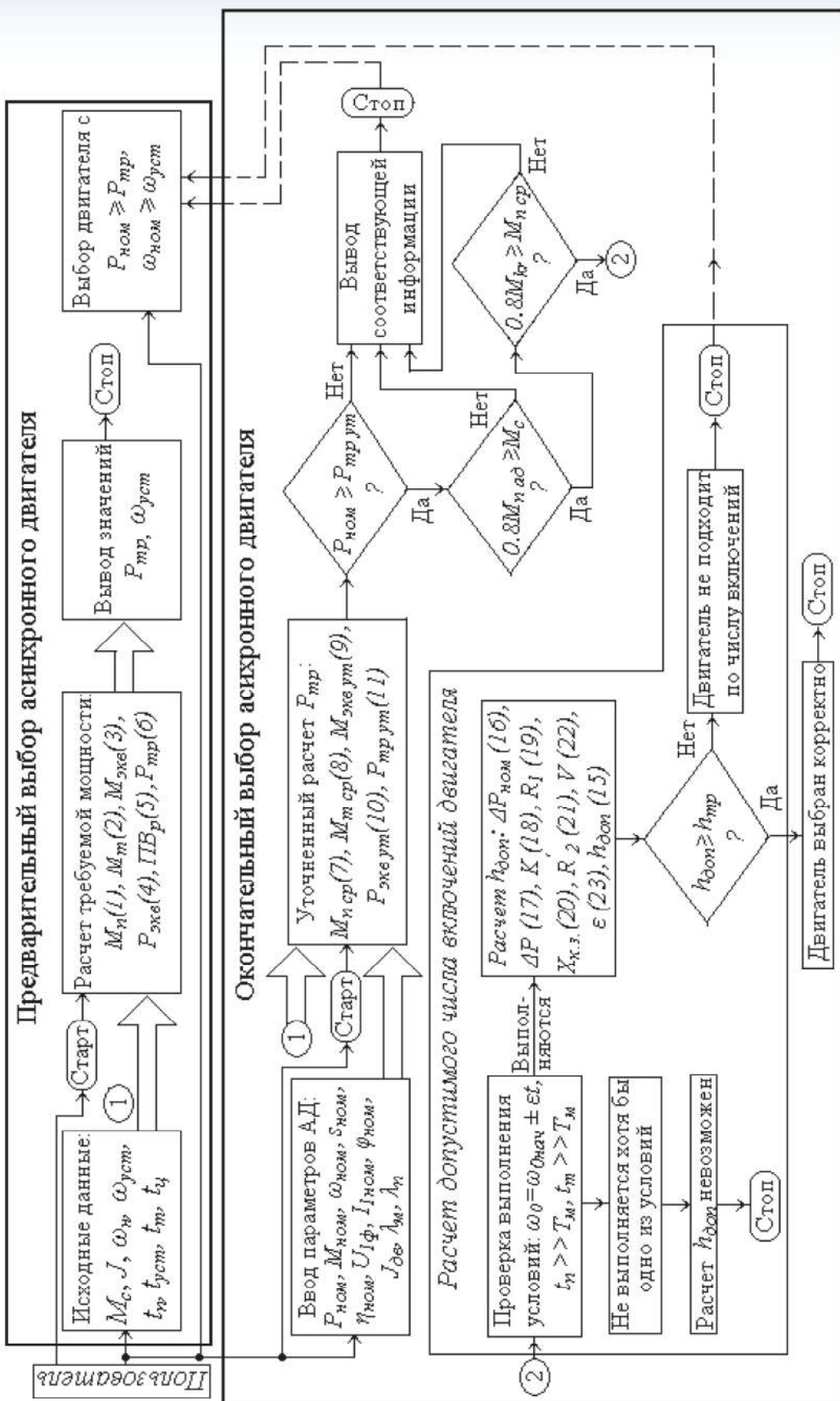


Рис. 2. Интерактивный алгоритм выбора АД для режима S5
(в скобках приведены номера формул в тексте, используемых для расчетов)

ИНФОРМАТИКА, ВЫЧИСЛИТЕЛЬНАЯ ТЕХНИКА И УПРАВЛЕНИЕ

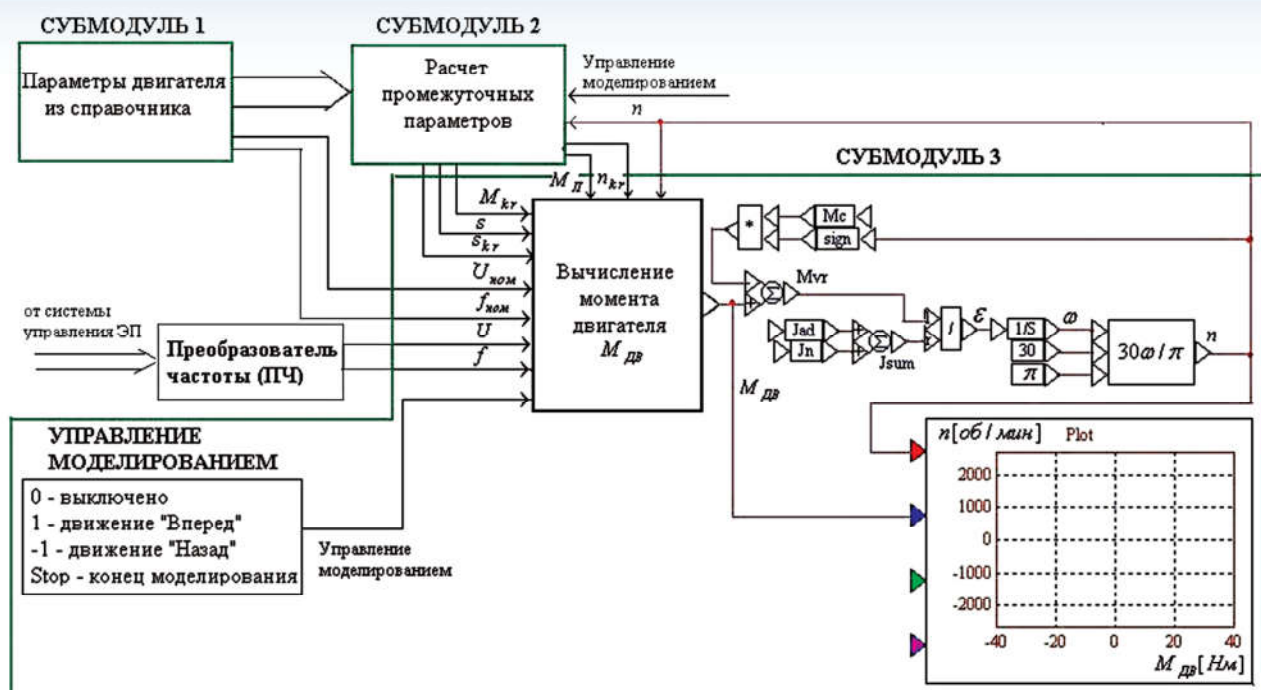


Рис. 3. Механодинамическая модель трехфазного АД с кз ротором при скалярном управлении

Расчет значений $M_{дв}$ по формуле Клосса хорошо соответствует экспериментальным характеристикам двигателя на рабочем участке (рисунок 4). При пуске $n \leq n_{kr}$ (n_{kr} – частота вращения ротора, соответствующая M_{kr}) получаем заниженные значения пускового момента $M_{дв}$ двигателя. Поэтому при расчетах на участке пуска используем специально подобранныю формулу, обеспечивающую прохождение графика через точки, соответствующие номинальным значениям пускового $M_{двн}$ и максимального $M_{двн}$ моментов двигателя при $f = f_{ном}$.

При скалярном управлении АД получаем двух зонное регулирование (рисунок 4):

1. При $f \leq f_{ном}$ и $U/f = const$ обеспечивается постоянная (номинальная) перегрузочная способность привода $M_{дв} = const$.

2. При частотах $f > f_{ном}$ и $U = U_{ном}$ соотношение $U/f = const$ не выполняется. В результате с увеличением f значения M_{kr} и $M_{двн}$ уменьшаются, а величина частоты вращения n увеличивается. Регулирование скорости АД ведется с нагрузкой типа «постоянная мощность» при $P = P_{ном}$.

Выводы

1. В системе моделирования VisSim реализован удобный для пользователя интерактивный алгоритм выбора типа АД для режима S5.

2. Программа расчета $h_{ном}$ разработана для скалярного управления АД.

3. Предлагаемая модель АД (рисунок 3) учт

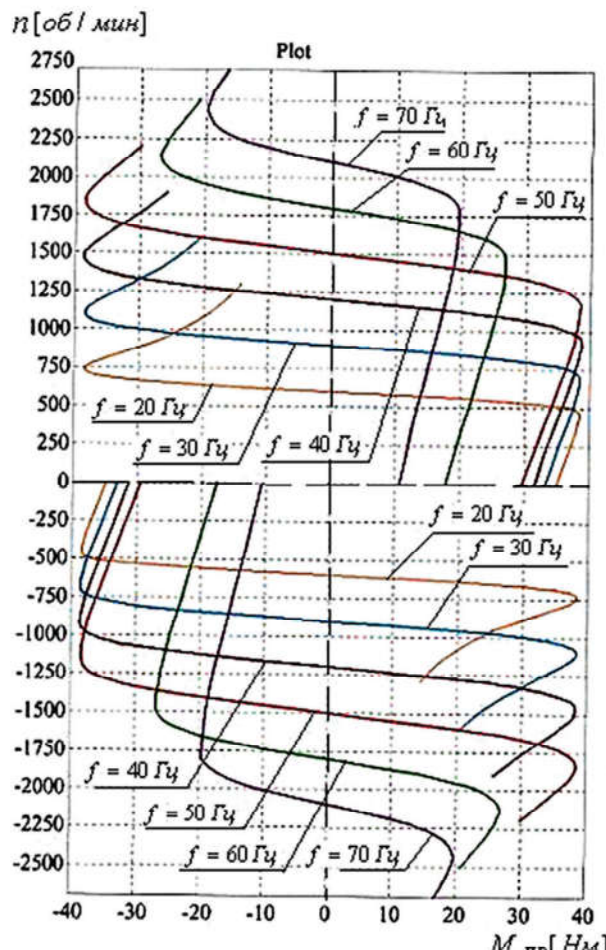


Рис. 4. Механические характеристики АД типа АИР90L4 при скалярном управлении

ИНФОРМАТИКА, ВЫЧИСЛИТЕЛЬНАЯ ТЕХНИКА И УПРАВЛЕНИЕ

тывает механическую инерционность электропривода, пренебрегая существенно меньшей электромагнитной инерционностью. Она применима при скалярном управлении АД. С ее использованием могут быть исследованы режимы пуска АД (I и III квадранты на *рисунке 4*), рекуперативного торможения с отдачей энергии в сеть (II и IV квадранты на *рисунке 4*), а также влияния нагрузки (величин J и M_c) на динамику электропривода.

Литература

1. Белов М.П., Новиков В.А., Рассудов Л.Н. Автоматизированный электропривод типовых производственных механизмов и технологических комплексов: Учебник для вузов. М.: Издательский центр «Академия», 2004. 576 с.
2. Высокоточные приводы, сервоприводы и системы ЧПУ Siemens. Электрон. дан. – Режим доступа: http://tekhar.com/Programma/Siemens/Privod_tech/Preobrazovateli/Servo/index_servo.htm
3. Дьяконов В.П. VisSim+Mathcad+MATLAB. Визуальное математическое моделирование. М.: СОЛООН-Пресс, 2004. 384 с.
4. Евсиков А.А., Коковин В.А., Леонов А.П. Системы управления оборудованием в автоматизированном производстве: Учебное пособие. Дубна: Гос. ун-т «Дубна», 2018. 139 с.
5. Ильинский Н.Ф. Основы электропривода: Учебное пособие для вузов. М.: Издательство МЭИ, 2003. 224 с.
6. Кацман М.М. Электрический привод. М.: ИЦ «Академия», 2011, 384 с.
7. Клиничев Н.В. Моделирование систем в программе VisSim: Справочная система. Offline версия 1.0. Челябинск, 2001. 212 файлов.
8. Леонов А.П. Выбор исполнительных двигателей для электрических приводов производственных механизмов. Учебное пособие. М.: Прометей, 2013. 139 с.
9. Москаленко В.В. Автоматизированный электропривод: Учебник для вузов. М.: Энергоатомиздат, 1986. 416 с.
10. Чиликин М.Г., Сандрлер А.С. Общий курс электропривода: Учебник для вузов. 6-е изд., доп. и перераб. М.: Энергоиздат, 1981. 576 с.
11. <http://model.exponenta.ru>